

可撤性 局部義齒에서 聯合 Clasp 連結部位의 微細構造

高麗病院歯科

孫漢基·金泰完

緒論

可撤性 局部義齒 裝着은 齒牙 缺損이 많은 患者에서 咀嚼機能과 審美性的 回復 및 口腔內의 殘存支持組織들을 健康한 狀態로 保存하는데 目的이 있다. 特히 後方 延長 義齒床을 갖는 遊離端局部義齒는 主된 支台齒의 動搖度를 增加시키고 支持組織의 破壞를 助長할 수 있다. 이때 支台齒에 傳達되는 無理한 힘을 輕減시킬 目的으로 設計된 많은 clasp 및 attachment system 中에서 聯合 clasp를 利用할 수 있다.

聯合 clasp는 circumferential clasp에서 維持 clasp arm을 鑄造 clasp形態 代身에 加工線을 使用함으로써 支台齒에 附加의 弹力性을 附與하여서 義齒가 咬合荷重을 받을 때 支台齒에 最小의 維持力を 갖게 하여^{1~4)} 支台齒의 運動을 減小시킬 수 있다는 長點때문에 널리 推薦되어 왔다.

이들 加工線의 材料, gauge 및 全長等에 따른 物理的 및 機械的 性質, 微細構造, 微細硬度 等에 關하여 많은 研究가 報告되었고^{5~8, 37)} 鑄造 clasp와 加工線 clasp間의 弹力性에 關해서도 서로 比較研究되었다.^{9~11, 47)} Cecconi等¹²⁾은 使用된 clasp의 材料보다는 clasp assembly design이 支台齒運動에 더 큰 影響을 준다고 했으며, Brudvik과 Wormley¹³⁾은 使用되어지는 加工線 維持 clasp arm은 可撤性 局部義齒의 副連結裝置에서 될 수 있는 한 멀리 附着시켜 주면 훨씬 더 큰 弹力性을 얻을 수 있다고 報告하였다.

한편 可撤性 局部義齒의 構造(framework)와 加工線 維持 clasp arm을 連結하는 方法에는 資材 鎏着法, 埋沒 鎏着法^{14, 30~33)} 加工線 封埋 鑄造法,^{38~44)} 電氣 鎏着法 및 레이저 自家 鎏着法^{34, 35)} 等이 있으나 連結部位의 材料 形態 및 操作等을 考慮하여 埋沒 鎏着法과 加工線 封埋 鑄造法이 主로 利用되고 있다.

金屬材料의 組織은 金屬의 여러가지 性質이나 特性에 關係하므로 組織 觀察을 하여 補綴物의 物理的 및 機械的 性質을 推定할 수 있다.²⁴⁾ Shell²⁵⁾이 1925年 처음으로 歯科用 金合金의 特性을 그 微細構造와 連關시킨 以來로, Asgar等²⁶⁾은 金鎔着 連結部를 電子顯微鏡으로 觀察한 바 있으며, Saito와 Santos²⁷⁾는 金鎔着 連結部의 微細構造와 物理的 特性間의 相互 關聯性 및 鎔着材의 凝固機轉에 對해서 報告한 바 있다. Walter²⁸⁾는 貴金屬 및 非貴金屬 사이의 鎔着 連結部位들의 比較에서 金合金은 니켈-크롬 合金에서보다 더 뚜렷한 結合을 나타냄을 밝혔다. 또 Radke等²⁹⁾은 多樣한 種類의 歯科用陶材前裝金冠用合金을 結合하여 鎔着連結部의 微細構造를 觀察한 바 있다. Skinner와 Phillips¹⁴⁾는 잘形成된 鎔着材가 鑄造面에 wet되고 一次金屬性 結合에 依해 癮着을 나타내며 鑄造金屬과 鎔着材 사이의 隣接面은 確然히 區分되어야 한다고 主張하였으며 그 外에 鎔着連結部의 物理的 性質, 變形 및 耐蝕性 等에 關해서도 많은 研究가 이루어져 왔다.
15~20, 22) 23, 36, 46)

加工線과 鑄造된 局部義齒 構造를 鎔着할 埋沒

鏽着法 時에는 加工線이 正確히 位置되어야 할 뿐 아니라 鏽着劑의 供給이 完璧히 이루어졌을 때 變形이나 多은 氣孔 및 空隔等의 發生을 避할 수 있지만 通常의 鏽着方法으로는 거의 不可能하다. 鏽着法 代身에 鑄造合金이 들어갈 鏽形에 加工線을 封埋시켜서 함께 鑄造를 하는 加工線 封埋 鑄造法은 操作이 簡便하여 多은 時間과 努力이 節約될 뿐만 아니라 더 나은 結合部位의 製作을 期待할 수도 있다. 實際 이 方法은 金合金 加工線이나 attachment用 金屬과 鑄造合金 사이의 連結時에 成功的으로 使用되었음이 報告되었다.³⁹⁻⁴⁴⁾ Craig Peyton³⁸⁾은 加工線 封埋 鑄造時에는 封埋될 加工線이 鑄造合金의 熔融溫度보다 높아야하고, 埋沒鑄型이 너무長時間동안 지나치게 높은 温度로 加熱되어 封埋된 加工線에 害를 주지 않아야 하며, 또한 좋은 結果를 為해서는 各會社의 指示된 鑄造方法에 따라야 한다고 報告하였다.

따라서 本 實驗에서는 最近 可能性 局部義齒에 使用되는 合金이 臨床의 要件을 充足시켜주는範疇内에서 經濟의 理由로 金合金 代身에 니켈-크롬系와 코발트-크롬系 合金으로 漸次 代替되고 있는 點을 考慮하여 埋沒 鏽着法과 加工線 封埋 鑄造法에 依해 局部義齒의 金屬과 加工線을 각各 貴金屬 및 非貴金屬으로 製作하였을 때 連合 clasp 連結部의 微細構造를 金屬顯微鏡으로 觀察하여 比較 檢討하였다.

材料 및 方法

材 料

本 實驗에서 可撤性 局部義齒 構造用 金屬으로는 美國齒科醫師協會規格 (A. D. A Specification) 第四形 金合金과 니켈-크롬系 合金인 Dentaurium 및 Ticonium 100을 使用했으며, 聯合 clasp에 쓰이는 加工線 및 Ticonium 加工線을 使用하였다. (Table 1 參照).

方 法

鑄造試片의 製作 : Fig. 1 과 같이 10×10×5 mm長 方形의 鏽形을 製作한 뒤, 加工線을 10mm길이로 切斷하여 鏽形내에 7mm깊이로 封埋시키고, 幅經2mm,

Table 1. Experimental specimens of combination clasp joint

Methods	No	Combination clasp joint	
		Framework alloy	Clasp wire
Soldering	1 D	Casting gold	Gold
	2	Casting gold	Ticonium
	3	Dentaurium	Gold
	4	Dentaurium	Ticonium
	5	Ticonium	Gold
	6	Ticonium	Ticonium
Embedding	7	Casting gold	Gold
	8	Casting gold	Ticonium
	9	Dentaurium	Gold
	10	Dentaurium	Ticonium
	11	Ticonium	Gold
	12	Ticonium	Ticonium

길이 7 mm의 鑄入線을 連結하여 圓錐臺에 固定시켰으며 한個의 圓錐臺에 같은 試片 三個를 함께 埋沒하였다. 金合金 鑄造時에 使用된 埋沒材는 Cristobalite Investment (Whip-Mix Co.)로서 製造會社의 指示에 따라 0.4의 混水比로 真空混合하였으며 鑄造還의 内面에는 石綿을 裏裝하였다. 埋沒後 24時間 經過하여 電氣爐 속에서 1,300°F 까지 한時間동안 烧煥하고 30分間 heat speaking 시킨 後遠心鑄造機를 利用하여 鑄造하였다. Dentaurium과 Ticon-

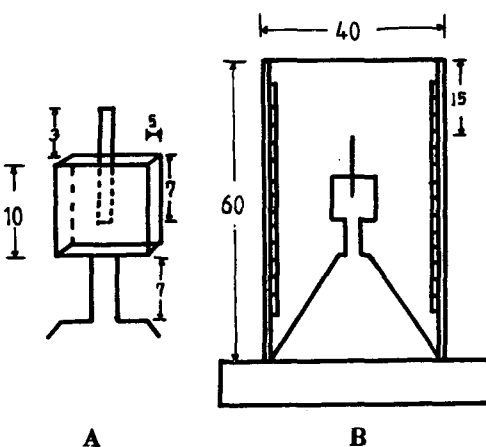


Fig. 1. A) The size and shape of the wax pattern and metal assembly.
B) The location of the wax pattern in the mold. (unit: mm)

ium 100의 鑄造時에는 埋沒材로 Chrome Investment X-20(Whip-Mix Co.)를 使用하였으며 各 會社의 指示에 따라 烧煥 鑄造하였다.

鑄着試片의 製作 : 18GA의 金合金 加工線 및 Ticonium 加工線(Ticonium Co.)을 10mm 길이로 切斷하여 鑄着될 構造用 金屬과 함께 洗淨하고 0.5mm 두께의 セルロイド片을 利用하여 金屬과 加工線 사이의 間隔을 一定하게 維持시켜서 악스로 固定시킨 後 鑄着用 埋沒材(Prevest Co.)로 埋沒하였다. 이들 試片의 製作은 鑄着될 部位에 融劑를 塗布하고 18K 金鎰(Hashimoto Co.)을 位置시킨 뒤 아세틸렌 가스를 利用하여 鑄着하였다.

組織觀察 : 製作된 鑄造 및 鑄着試片의 組織을 觀察하기 為해서 低速다이아몬드切斷機(Buhler Co.)을 利用하여 試片을 縱斷面과 橫斷面으로 切斷하였다. 切斷된 試片은 自動 Mounting Press(Buhler Co.)을 相用하여 폴리스티렌 粉末로 試片을 圓柱形으로 壓縮 成形하였다. 成形된 試片은 100, 200, 600, 800 및 1,200番 金剛砂紙上에서 粗研磨를 한 後 自動研磨機(Buhler Co.)을 利用하여 酸化 알루미늄 研磨材와 함께 微細研磨하여 試片表面의 흙을 除去하고 所定의 光澤을 얻은 後 組織觀察을 為하여 Keller氏 試藥으로 表面을 化學腐蝕시켰다.

組織觀察은 金屬顯微鏡(Union Co.)을 利用하여 50, 100, 200, 400 및 1,000의 倍率로 試片의 縱斷面 및 橫斷面을 觀察하고 組織寫眞을 摄影하였다.

成 繢

各其 다른 材料와 方法을 利用하여 製作된 12가지 種類의 聯合 clasp 連結部를 縱斷面 및 橫斷面으로 切斷하여 그 構造를 金屬顯微鏡으로 觀察한結果 鑄着試片의 連結部位에서는 鑄着材와 加工線 사이에 比較的 良好한 結合 樣相을 보였으며 貴金屬인 金加工線을 使用한 境遇에 非貴金屬인 Ticonium 加工線에서 보다도 더 優秀한 結合을 나타내었다.

특히 金合金과 金加工線의 連結部位가 가장 良好하였으며 境界面의 組織도 뚜렷하게 나타났으나 試片製作中 鑄着時에 導入된 鑄着材의 微細한 氣孔들도 觀察할 수 있었다.

또한 非貴金屬인 Ticonium 加工線에 있어서는 鑄着材와의 結合이 不良하여 境界部의 組織이 거칠게

나타났으며 温度上昇에 따른 粗大한 結晶粒을 發見할 수 있었다. 鑄着材의 結合을 增加시키기 위하여 過熱狀態로 長時間 鑄着試行時 加工線의 境界部에 커다란 氣孔도 觀察되었다(Photo. 2 參照).

鑄造試片의 連結部位는 鑄着試片에서 보다 全般的으로 더 優秀한 結合狀態를 보였으며 여기에서도 異種金屬사이의 結合에서보다 貴金屬인 金合金과 金加工線의 結合이 가장 良好하였다(Photo. 7 參照).

그러나 非貴金屬끼리의 結合에서도 같은 系統의 金屬사이의 結合은 서로 다른 金屬사이의 結合보다 더 나은 結合을 보였다(Photo. 12 參照).

또한 鑄造試片에서도 製作過程이나 烧煥 鑄造時의 缺陷으로 因하여 連結部位에 多少의 微細한 氣孔이나 酸化物을 觀察할 수 있었다(Photo. 10 參照)

構造用 金屬과 加工線 사이의 連結部位에 擴散現象을 高倍率下에서 觀察해 본 結果 全般的으로 微小한 擴散層을 나타내고 있으나 鑄着試片에서보다 鑄造試片에서 擴散層은 적게 나타났으며 貴金屬의 境遇보다 熔融溫度 및 鑄着溫度가 훨씬 높은 非貴金屬試片에서 結晶粒이 多少 粗大하게 나타났다.

考 察

鑄着試片의 製作時 Skinner¹⁴⁾는 氣孔을 最小限으로 줄이는 方法은 可能限 한 가장 簡은 時間內에 가장 낮은 温度에서 鑄着시킬 것을 推薦하였다. Willis와 Nicholls²¹⁾는 두 母材사이에 鑄着劑의 間隔은 서로 接觸되지 않는 限度内에서 最小의 距離를 두는게 理想的인 方法이라고 하였으나, Stade等¹⁸⁾은 오히려 鑄着劑 間隔이 1mm 限度内에서는 增加할수록 強度도 增加하였음을 報告하였다. Brudvik²²⁾는 鑄着材의 使用과 鑄着方法을 鑄着連結部의 強度와 比較한 研究에서 可撤性 局部義齒 金屬사이의 鑄着時는 20k 金鎰을 利用하여 電氣 鑄着法을 使用하는게 가장 좋다고 推薦한 바 있다.

한편 El-Ebrashi²⁶⁾의 金鎰着 連結部에 對한 電子顯微鏡 觀察에서 適切한 温度로 加熱된 鑄着連結部에서는 擴散現象이 없었으며, 過熱된 鑄着連結部에서는 뚜렷한 擴散層을 보이고, 融劑의 誤用時나 過熱된 鑄着部位에서는 酸化物의 形成으로 強度 및 延性的減少는勿論 腐蝕이나 變色의 原因이 된다고 하였다. Saito와 Santos²⁷⁾는 通常의 鑄着法에서는 氣孔이나 酸化物 形成等은 避할 수 없는 課

題라고 報告한 바 있다.

本 實驗에서 鑄着試片의 製作時에는 埋沒 鑄着法을 利用하였고, 0.5mm의 鑄着劑 間隔을 一定하게 維持시켜 acetylene gas flame으로 加熱하여 鑄着劑가 녹아 flow가 確認되면 即時 flame을 除去하였다. 그러나 非貴金屬 使用時에는 鑄着劑의 flow가 容易치 않아서 數秒間 더 加熱한 結果로 寫眞附圖 2에서 보는 바와 같이 더 많은 氣孔과 酸化物과 같은 汚染部位가 생긴 것으로 推測된다. 또한 몇몇 鑄着連結部에서는 橫斷龜裂, 氣孔, 鑄着劑 缺乏部位 및 酸化物 形成部位를 보였으며 이들이 鑄着連結部의 物理的 및 機械的 性質을 低下시키는데 關與할 수 있을 것으로 料된다. 橫斷龜裂은 0.05mm 分理된 鑄着試片의 大部分에서 나타났으며 鑄着劑 한 가운데나 그 隣接部位에서 觀察되었다. 이는 高溫에서 結晶粒界를 通해서 일어난 破折部位로 應力集中點으로 作用할 수 있다.

Skinner 와 Phillips¹⁴⁾는 鑄着試片에서 생기는 氣孔은, 鑄着時 생기는 개스 吸收性 氣泡와 鑄着劑 應固收縮時 일어나는 應固收縮性 氣泡로 大別하였다. 本 實驗에서는 개스 吸收性 氣泡는 매우 크고 球形으로 나타났으며 高倍率下에서 主로 鑄着劑 隣接部位에서 發見되었고, 應固收縮性 氣泡는 鑄着劑가 鑄造金屬과 接觸하는 部位에서부터 應固가 이루어지므로 꼭 鑄着劑의 바깥 周邊에서 나타났다.

Tsuka等⁴⁴⁾은 여러가지 種類의 attachment 金屬과 金合金을 封埋 鑄造法으로 連結時에 金屬顯微鏡과 走查電子顯微鏡으로 그 連結部位를 觀察한 結果 uninterrupted gapless joint가 可能하며 어떤 種類에서는 若干의 擴散現象을 보였으나 齒科技工過程에 推薦할 만한 技法이라 하였다. 또 Gilson等⁴³⁾은 附着되는 attachment 金屬이 脫落을 수록 더 좋은 結合을 이룬다고 하였다. 加工線을 鑄造金屬이 들어갈 鑄形에 封埋시켜 鑄造 連結할 때의 큰 問題點은 烧煥時 鑄形內에 殘存하는 炭素나 埋沒材에 依해 加工線이 汚染될 수 있는 點이다. 일단 加工線이 汚染되면 脆弱해지며 구부릴 때 破折될 수도 있다. Asgar 와 Peyton²⁴⁾은 加工線 汚染의 主된 原因인 埋沒材의 解體를 防止하기 为해서 CO₂를 生成시키는 埋沒材를 使用함으로써 封埋된 加工線을 保護할 수 있다고 하였다. 本 實驗에서 製作된 金屬試片에서 加工線 隣接面의 개스陷入, 微細氣泡 및 加工線 汚染의 有無等을 觀察한 바 大部分의 試片에서 界面

部位에 氣孔이나 形成等은 거의 나타나지 않았으며, 加工線 自體의 뚜렷한 汚染現象도 觀察되지 않았다. 다만 構造用金屬과 加工線 사이의 構造的 連結部인 結合部位에서 鑄着試片에서의 wet現象과 비슷한 微少한 量의 擴散現象을 볼 수 있었다. 윤과 손⁴⁵⁾은 構造用 金屬과 加工線 金屬이 각其 다른 系統의 材料일 境遇에 界面部에多少의 汚染된 狀態를 나타낸 것은 埋沒材의 選擇이나 化學腐蝕 및 不正確한 研磨等에도 原因이 있다고 하였다.

本 實驗에서 製作된 12種類의 聯合 clasp 連結部의 微細構造를 觀察한 結果 程度의 差異는 있지만 大部分의 試片에서 比較的 良好한 結合樣相을 보였다. 한편 clasp 修復等의 目的으로는 埋沒 鑄着法이 더 便利하게 利用될 수도 있지만 聯合 clasp 製作時에는 操作上 그 正確度의 限界性 때문에 規格化된 埋沒, 烧煥 및 鑄造에 따른 加工線 封埋 鑄造法이 臨床的으로 더 推薦할 만한 技法이라고 料된다.

要 約

埋沒 鑄着法과 加工線 封埋 鑄造法에 의해 局部 義齒의 金屬과 加工線을 각各 貴金屬 및 非貴金屬으로 製作하였을 때 聯合 clasp 連結部의 微細構造를 金屬 顯微鏡으로 觀察하여 다음과 같은 結果를 얻었다.

鑄着 및 鑄造試片 共히 連結部位의 微細組織은 擴散에 의한多少의 結晶粒界의 變化를 觀察할 수 있었다.

鑄着試片에서는 非貴金屬보다 貴金屬 使用시 良好한 結合樣相을 나타내었다.

鑄造試片에서는 貴金屬 및 非貴金屬 差異보다는 같은 系統의 金屬을 使用함으로서 보다 良好한 結合樣相을 나타내었다.

鑄造試片과 鑄着試片 모두에서 試片製作의 技術的인 方法에 의해多少의 氣孔 및 酸化物 形成 등과 같은 汚染된 界面部가 나타났다.

參 考 文 獻

1. Frechette, A. R., The influence of partial denture design on distribution of forces on abutment teeth. J. Prosth. Dent., 6: 195-212, 1956.

2. Kaires, A., Effect of partial denture design on bilateral force distribution. *J. Prosth. Dent.*, 6: 373-385, 1956.
3. Fenner, W., Gerber, A., and Muhlemann, H.R., Tooth mobility change during treatment with partial denture prosthesis. *J. Prosth. Dent.*, 6: 520-525, 1956.
4. Applegate, O. C., Essentials of removable partial denture prosthesis. Philadelphia: W. B. Saunders Co., 1959, pp. 164-165.
5. Frank, R. P., and Nicholls, J. I., A study of the flexibility of wrought wire clasps. *J. Prosth. Dent.*, 45: 259-267, 1981.
6. Morris, H. F., Asgar, K., and Tillitson, E., Stress relaxation testing. Part 1: A new approach to the testing of removable partial denture alloys, wrought wire, and clasp behavior. *J. Prosth. Dent.*, 46: 133-141, 1981.
7. Morris, M. F., Asgar, K., Roberts, E. P., and Brudvik, J. S., Stress relaxation testing. Part II: Comparision of bonding profiles, microstructures, microhardnesses, and surface characteristics of several wrought wrought wires. *J. Prosth. Dent.*, 46: 256-262, 1981.
8. Brudvik, J. S., and Morris, H. F., Stress relaxation testing. Part III: Influence of wire alloys, gauges, and lengths on clasp behavior. *J. Prosth. Dent.*, 46: 374-379, 1981.
9. Morris, J. F., Asgar, K., Brudvik, J. S., and Winkler, S., Stress relaxation testing. Part IV: Clasp pattern dimensions and their influence clasp behavior. *J. Prosth. Dent.*, 46: 450-461, 1981.
10. Clayton, J. A., and Jaslow, C., A measurement of clasp forces on teeth. *J. Prosth. Dent.*, 25: 21-43, 1971.
11. Frank, R. P., Brudvik, J. S., and Nicholls, J. I., A comparision of the flexibility of wrought wire and cast circumferential clasps. *J. Prosth. Dent.*, 49: 471-476, 1983.
12. Cecconi, B. T., Asgar, K., and Dooty, E., The effect of partial denture clasp design on abutment tooth movement. *J. Prosth. Dent.*, 22: 44 -55, 1971.
13. Brudvik, J. S., and Wormley, J. H., Construction techniques for wrought wire retentive clasp arms as related to clasp flexibility. *J. Prosth. Dent.*, 30: 769-774, 1973.
14. Skinner, E. W., and Phillips, R. W., The science of dental materials, 7th ed., Philadelphia: W. B. Saunders Co., 1973, pp. 250, 393, 572, 578, 595.
15. Anderson, T. B., Fairhurst, C. W., and Ryge, G., Method for evaluation of dimensional changes in dental bridge soldering. *J. Dent. Res.*, 37: 96-100, 1958.
16. Fusayama, T., Wakumoto, S., and Hosoda, M., Accuracy of fixed partial dentures made by various soldering technique and one piece casting. *J. Prosth. Dent.*, 14: 334-342, 1964.
17. El-Ebrashi, M. K., Craig, R. G., and Peyton, F. A., Experimental stress analysis of dental restoration. Part VII: Structural design and stress analysis of fixed partial dentures. *J. Prosth. Dent.*, 23: 177-186, 1970.
18. Stade, E. H., Reisbick, M. H., and Preston, J. D., Preceramic and postceramic solder joints. *J. Prosth. Dent.*, 34: 527-523, 1965. 7
19. Rasmussen, E. J., Goodkind, R. J., and Gerberich, W. W., An investigation of tensile strength of dental solder joints. *J. Prosth. Dent.*, 41: 418-423, 1979.
20. Neuton Antome Pazzing, Paulo Amarante de Araujo, and Eymar S. Lopes., The accuracy of soldering investment. *J. Prosth. Dent.*, 42: 530-533, 1979.
21. Willis, L. M., and Nicholls, J. I., Distortion in dental soldering as affected by gap distance. *J. Prosth. Dent.*, 43: 272-278, 1980.
22. Brudvik, J. S., and Nicholls, J. I., Soldering of removable partial denture. *J. Prosth. Dent.*, 49: 762-765, 1983.
23. Townsend, L. W. A., Vermilyed, S. G., and Griswold, W. H., Soldering non noble alloys. *J. Prosth. Dent.*, 50: 51-53, 1983.
24. Asgar, K., and Peyton, F. A., Effect of mic-

- rostructure on the physical properties of cobalt-base alloys. *J. Dent. Res.*, 40: 63-71, 1961.
25. Shell, J. S., Metallography of precious metals used in dentistry. *J. A. D. A.*, 12: 794-806, 1925.
 26. El-Ebrashi, M. K., Asgar, K., and Bigelow, W. C., Electron microscopy of gold soldered joints. *J. Dent. Res.*, 47: 5-11, 1968.
 27. Saito, T., and Santos, J. F., Studies on microstructure of gold soldered joints. *J. Dent. Res.*, 58: 1108-1114, 1979.
 28. Walters, R. A., A photomicrographic evaluation of the solder joint between precious and nonprecious metal. *J. Prosth. Dent.*, 35: 689-692, 1976.
 29. Staffanou, R. S., Radke, R. A., and Jendresen, M. D., Strength properties of soldered joints from various ceramic-metal combination. *J. Prosth.*, 43: 31-39, 1980.
 30. Taylor, N. O., and Teamer, C. K., Gold solder for dental use. *J. Dent. Res.*, 28: 219-223, 1949.
 31. Ryge, G., Dental soldering procedures. *Dent. Clin. N. Amer.*, 20: 747-757, 1958.
 32. O'Brien, W. J., Hirthe, W. W., and Ryge, G., Wetting characteristics of dental gold solders. *J. Dent. Res.*, 42: 675-680, 1963.
 33. Anderson, J. M., Applied Dental Materials, 4th ed., Oxford, London: Blackwell scientific publication., 1968, pp. 101-112.
 34. Preston, J. D., and Reisbick, M. H., Laser fusion of selected dental casting alloys. *J. Dent. Res.*, 54: 232-238, 1975.
 35. Gordon, T. E., and Smith, D. L., Leser welding of prostheses-On initial part. *J. Prosth.* Dent., 24: 472-475, 1970.
 36. Macentee, M. I., Hawbolt, E. B., and Zahel, J. I., The tensile and shear strength of a base metal weld joint used in dentistry. *J. Dent. Res.*, 60: 154-158, 1981.
 37. Bush, S. H., and Peyton, F. A., The effect of section size on the mechanical properties of wrought gold wires. *J. Dent. Res.*, 30: 745-752 1951.
 38. Craig, R. G., and Peyton, F. A., Restorative Dental Materials, 5th ed., St. Louis: C. V. Mosby Co., 1975, pp. 339-346.
 39. Eifinger, F., Licht-und elektronenmikroskopische Untersuchungen an einer angussfahigen Platin-Gold-Legierung für Wurzelstifte. *Dtsch. Zahnärztl. Z.*, 19: 234-237, 1964.
 40. Kuhl, W., Gefugeuntersuchungen an der neun angussfähigen wurzelstiftlegierung "permardor." *Z. W. R.*, 63: 491-493, 1962.
 41. Mark, H., Über die wahl des stiftmaterials bei stiftkronen ersatz. *Z. W. R.*, 64: 43-45, 1963.
 42. Asgar, K., and Peyton, F. A., Casting dental alloys to embedded wires. *J. Prosth. Dent.*, 15: 312-321, 1965.
 43. Gilson, T. D., Asgar, K., and Peyton, F. A., The equality of union formed in casting gold to embedded attachment metals. *J. Prosth. Dent.*, 15: 464-473, 1965.
 44. Tsuka, T., Hamada, T., and Yomada, S., Casting a gold alloy to embedded precision attachment metals. *J. Prosth. Dent.*, 48: 262-270, 1978.
 45. 윤창근, 손한기, 주조후 냉각방법에 의한 금속 조직 결정과 경도에 관한 비교연구. 대한치과 의사협회지, 14: 609-613, 1976.

= Abstract =

MICROSTRUCTURE OF COMBINATION CLASP JOINTS IN REMOVABLE PARTIAL DENTURE*

Son Han Kee, Kim Tae Wan

Department of Dentistry. General Hospital Seoul, Korea

To evaluate the microstructure of various combination clasp joint in removable partial denture, the auther selected framework alloys(Type IV gold alloy, Dentaurium, Ticonium 100) and wrought wires (gold alloy, Ticonium) for this study.

Twelve series of combination joints were made by investment soldering technic and wrought wire embedded casting technic.

All specimens were cut cross-sectionally and longitudinally, then examined with metallurgical microscope.

The results were as follows;

Some diffusion was observed in the properly constructed combination clasp joints.

In soldered joints, empolying precious alloys were more favorable than non-precious alloys.

In castion joints, assemblage of same alloy between framework and wrought wire was superior to other groups.

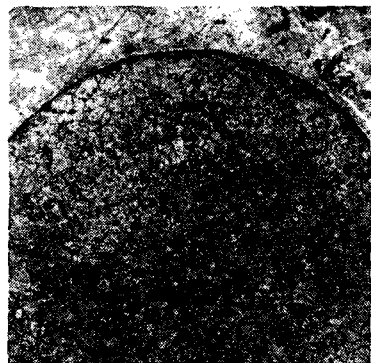
Some impurities were observed in both joints by technical problems.

*A thesis submitted to the Committee of the Graduate School of Kyungpook National University in partial fulfillment of the requirements for the degree of Master of Science in Dentistry in December 1983.

Explanation of Figures

- Photo. 1.** Microstructure of the soldered combination clasp joint between gold framework alloy and gold wrought wire.(cross section). x 100. Uniform joint boundary can be noted.
- Photo. 2.** Microstructure of the soldered combination clasp joint between gold framework alloy and Ticonium wrought wire.(cross section). x 100. Note the large porosity due to overheating (arrow).
- Photo. 3.** Microstructure of the soldered combination clasp joint between Dentaurium framework alloy and gold wrought wire.(cross section). x 100. Uniform joint boundary can be noted.
- Photo. 4.** Microstructure of the soldered combination clasp joint between Dentaurium framework alloy and Ticonium wrought wire.(cross section). x 100. Several contamination zones are found surrounding wrought wire.
- Photo. 5.** Microstructure of the soldered combination clasp joint between Ticonium 100 framework alloy and gold wrought wire.(cross section). x 100. Note the thin diffusion layer (arrow).
- Photo. 6.** Microstructure of the soldered combination clasp joint between Ticonium 100 framework alloy and Ticonium wrought wire.(longitudinal section). x 400. Note the thick diffusion layer (arrow).
- Photo. 7.** Microstructure of the embedded combination clasp joint between gold framework alloy and gold wrought wire.(cross section). x 100. Uninterrupted gapless joint are formed.
- Photo. 8.** Microstructure of the embedded combination clasp joint between gold framework alloy and Ticonium wrought wire.(cross section). x 50. Some porosities and contamination zone are observed. and
- Photo. 9.** Microstructure of the embedded combination clasp joint between Dentaurium framework alloy and gold wrought wire.(longitudinal section). x 100. Uninterrupted gapless joint are formed.
- Photo. 10.** Microstructure of the embedded combination clasp joint between Dentaurium framework alloy and Ticonium wrought wire.(longitudinal section). x 50. Some impurities and oxide formation are observed.
- Photo. 11.** Microstructure of the embedded combination clasp joint between Ticonium 100 framework alloy and gold wrought wire.(cross section). x 400. There is no diffusion, but some grain boundary growth occur (arrow).
- Photo. 12.** Microstructure of the embedded combination clasp joint between Ticonium 100 framework alloy and Ticonium wire.(cross section). x 400. There is no diffusion sign.

》論文寫真附図①《



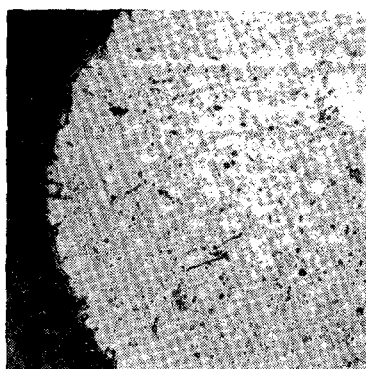
1



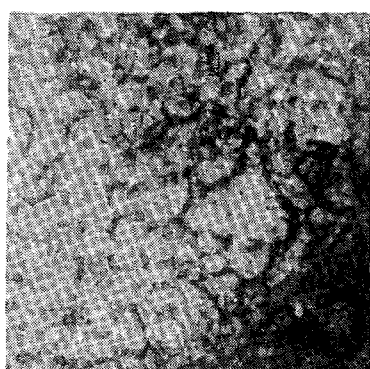
2



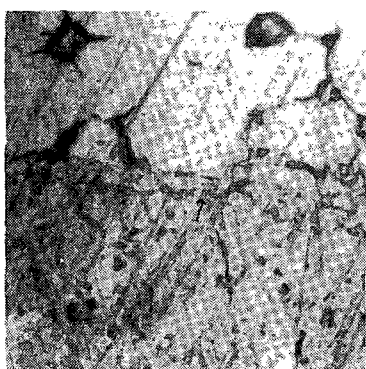
3



4

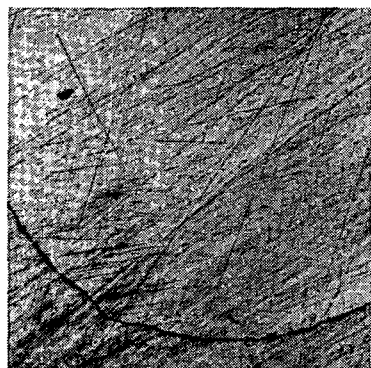


5

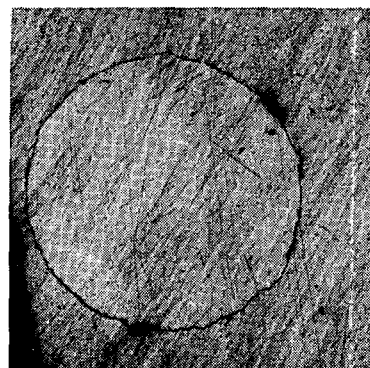


6

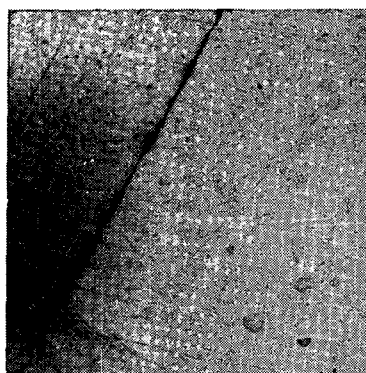
》論文寫眞附図②《



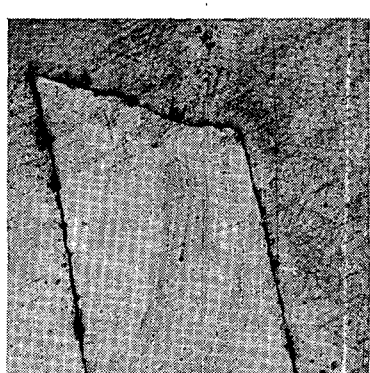
7



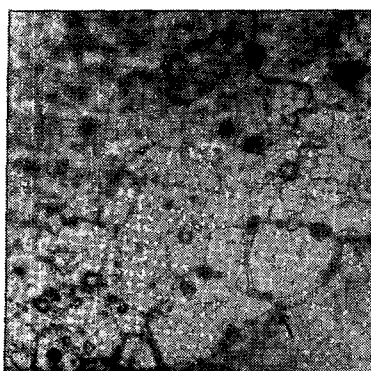
8



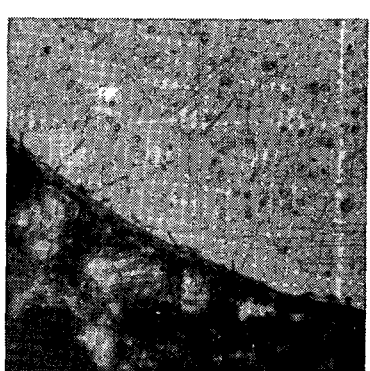
9



10



11



12